





















Pathway	Gene ranks	NES	pval	padj
HALLMARK_INTERFERON_GAMMA_RESPONSE		1.87	2.3·10 ⁻³	6.4·10 ⁻²
HALLMARK_KRAS_SIGNALING_DN		1.71	2.8·10 ⁻³	6.4·10 ⁻²
HALLMARK_SPERMATOGENESIS		1.34	1.5·10 ⁻²	1.7·10 ⁻¹
HALLMARK_UNFOLDED_PROTEIN_RESPONSE		1.43	5.0·10 ⁻²	2.5·10 ⁻¹
HALLMARK_ESTROGEN_RESPONSE_LATE		1.53	5.1·10 ⁻²	2.5·10 ⁻¹
HALLMARK_INTERFERON_ALPHA_RESPONSE		1.49	6.1·10 ⁻²	2.7·10 ⁻¹
HALLMARK_ANGIOGENESIS		1.38	8.1·10 ⁻²	3.3·10 ⁻¹
HALLMARK_INFLAMMATORY_RESPONSE		1.40	9.4·10 ⁻²	3.5·10 ⁻¹
HALLMARK_IL2_STAT5_SIGNALING		1.36	1.2·10 ⁻¹	4.3·10 ⁻¹
HALLMARK_ESTROGEN_RESPONSE_EARLY		1.32	1.4·10 ⁻¹	4.3·10 ⁻¹
HALLMARK_PROTEIN_SECRETION		-0.90	5.6·10 ⁻¹	9.2·10 ⁻¹
HALLMARK_NOTCH_SIGNALING		-0.97	5.3·10 ⁻¹	9.2·10 ⁻¹
HALLMARK_TGF_BETA_SIGNALING		-1.08	3.8·10 ⁻¹	8.1·10 ⁻¹
HALLMARK_CHOLESTEROL_HOMEOSTASIS		-1.10	3.6·10 ⁻¹	8.1·10 ⁻¹
HALLMARK_PI3K_AKT_MTOR_SIGNALING		-1.06	3.6·10 ⁻¹	8.1·10 ⁻¹
HALLMARK_E2F_TARGETS		-1.31	1.5·10 ⁻¹	4.3·10 ⁻¹
HALLMARK_OXIDATIVE_PHOSPHORYLATION		-1.61	4.7·10 ⁻²	2.5·10 ⁻¹
HALLMARK_PEROXISOME		-1.48	4.1·10 ⁻²	2.5·10 ⁻¹
HALLMARK_BILE_ACID_METABOLISM		-1.48	4.1·10 ⁻²	2.5·10 ⁻¹
HALLMARK_MYC_TARGETS_V1		-1.79	1.4·10 ⁻²	1.7·10 ⁻¹

0 100 200